

## (651) 低炭素化による中強度熱延鋼板の加工性改善

日本钢管<sup>㈱</sup> 技研福山研究所

○奥山 健

福山製鉄所

上林武夫

## 1. 緒 言

軟質熱延鋼板と高強度熱延鋼板の狭間である  $40 \sim 45 \text{ kgf/mm}^2$  級の中強度熱延鋼板は、通常  $0.10\% \text{C}$  以上の  $\text{Al}$  キルド鋼で製造され、必要に応じて脱硫も行われるが、その加工性は必ずしも満足できるものではない。そこで加工性改善の 1 つの方法として低 C 化を検討したので報告する。

## 2. 実験方法

供試鋼は実験室溶解した 4 種で化学成分を Table 1 に示す。C 量を変化させる一方、強度を一定に保つ為低 C 化に応じて、Si, Mn 量は増加させた。供試鋼は(X), (Y) の 2 通りの条件で  $3.2 \text{ mm}$  の熱延板とし、 $0.5\%$  スキンパス後各種試験に供した。

(X) 低温巻取相当 壓延後  $600^\circ\text{C} \times 1 \text{ hr}$  保持、炉冷。

(Y) 高温巻取相当 壓延後  $750^\circ\text{C} \times 1 \text{ hr}$  保持、炉冷。FT は(X), (Y) ともに  $> 900^\circ\text{C}$

## 3. 結 果

(1) 条件(X)では 4 鋼種ともに TS はほぼ同じ値を示す。巻取温度上昇に伴う TS 低下は、C 量が低下すると小さくなる。すなわち TS の巻取温度依存性が減少する。強度 - 延性バランスは C 量、巻取温度によってあまり変わらない。(Fig. 1)

(2) 切欠伸びは C 量が低下すると増加する傾向があり、この傾向は低温巻取である条件(X)の方が顕著である。(Fig. 2) 低 C 化による伸びフランジ成形性向上は、炭化物減少により切欠感受性が減少するためと考えられる。

(3) vTrs は低 C 化によって基本的には低下すると考えられるが、極低 C 領域 ( $C < 0.01\%$ ) では、フェライト粒が大きくなるため上昇傾向となる。vEs は低 C 化によって単調に増加する。(Fig. 3) 以上のことから中低 C ( $C \approx 0.02\%$ ) レベルまでは低 C 化によって耐縫割れ性も改善されると考えられる。

(4) 以上の結果をもとに、C 量を変えて現場試作した  $45 \text{ kgf/mm}^2$  材の例を Table 2 に示す。低 C 化により伸びフランジ成形性と耐縫割れ性は明らかに改善されており、特に  $0.04\% \text{C}$  の鋼 E は非常に優れた加工性を有している。

Table 2 Properties of mill trial products. (2.3mm, FT880°C, CT640°C)

Steel	Chemical composition (wt%)						Mechanical properties (Transverse direction)						
	C	Si	Mn	P	S	Others	YS <sup>1)</sup> kgf/mm <sup>2</sup>	TS <sup>1)</sup> kgf/mm <sup>2</sup>	E $\ell$ <sup>1)</sup> %	N.E $\ell$ <sup>2)</sup> %	vTrs °C	vEs kgf·m	
E	0.044	0.61	1.00	0.010	0.001	—	38.3	45.0	38.0	18.2	-145	8.07	
F	0.085	0.07	1.08	0.008	0.001	Ca 0.0006	30.8	43.8	39.2	12.2	-185	2.57	
G	0.156	0.05	0.68	0.022	0.001	—	28.3	43.1	39.6	11.8	-80	2.14	

1) JIS No.5 test piece

2) JIS No.5 test piece with 2mm V-notch

Table 1. Chemical composition of steels (wt%)

steel	C	Si	Mn	P	S	Sol.Al	N
A	0.140	0.01	0.77	0.002	0.004	0.044	0.0038
B	0.065	0.55	0.84	0.001	0.004	0.041	0.0042
C	0.024	0.87	0.83	0.002	0.004	0.041	0.0043
D	0.005	0.84	1.00	0.001	0.004	0.035	0.0013

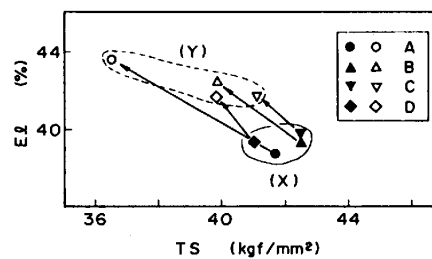


Fig. 1 Relationship between TS and Eℓ.

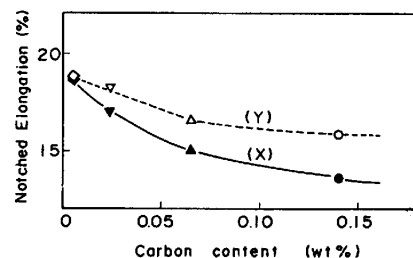


Fig. 2 Relationship between carbon content and notched elongation.

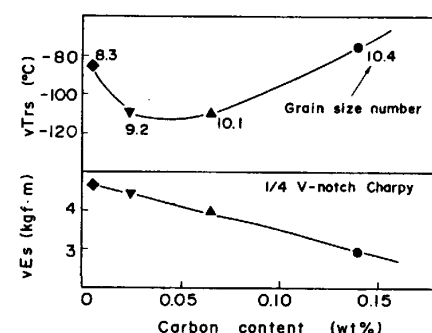


Fig. 3 Relationship between carbon content and impact properties.